# 吴桂萍<sup>12</sup> 吴 巍<sup>1</sup> 王 成<sup>2</sup> 毕 昆<sup>2</sup>

1(武汉理工大学信息工程学院 湖北 武汉 430070)

2(北京农业智能装备技术研究中心 北京 100097)

摘要 鱼眼镜头具有大视场、短焦距等优点,近年来被广泛应用到不同的领域。由于鱼眼镜头成像存在较大的畸变,目前主要用来目标监测。在目标物体的识别方面应用得很少。为此,提出一种基于球面透视投影约束的鱼眼图像校正方法,并用双线性插值法对校正后的图像进行填充,为鱼眼镜头在目标物体识别跟踪方面的应用做了准备工作。实验结果表明采用上述方法能够很好地对鱼眼图像畸变进行校正,且校正后的鱼眼图像符合人的直观感觉,真实感较强。图像边缘清晰。

关键词 鱼眼镜头 球面投影 标定 校正 双线性插值

中图分类号 TP391.41 文献标识码 A

#### A FISHEYE IMAGE CORRECTION METHOD BASED ON BILINEAR INTERPOLATION

Wu Guiping<sup>1,2</sup> Wu Wei<sup>1</sup> Wang Cheng<sup>2</sup> Bi Kun<sup>2</sup>

 $^{1}$  ( College of Information Engineering ,Wuhan University of Technology ,Wuhan 430070 ,Hubei ,China)

<sup>2</sup> (Beijing Research Center for Information Technology in Agriculture Beijing 100097 China)

Abstract Because of its wide angle and short focus virtues, in recent years the fisheye lens is widely used in different fields. Since there is fairly large distortion in fisheye lens image generation, it is now mainly used in target monitoring rather than target object distinguishing. Therefore the paper proposes a fisheye image correction method based on spherical perspective projection constraint and fills the corrected image with bilinear interpolation so as to do preparation work for the application of the fisheye lens to target object distinguishing and pursuing. Experiment results show that the above mentioned method can well correct the fisheye image distortion. The corrected fisheye images are in line with people's intuitive sense, highly realistic and smooth along the boundary.

Keywords Fisheye lens Spherical projection Calibration Correction Bilinear interpolation

# 0 引言

鱼眼镜头的视场角很大,大概在180度到270度之间,且以 凝视方式工作 不需要旋转和扫描 体积小、成本低、光能损失低 等优点。目前在机器人导航、视频会议、监视和虚拟现实应用等 许多计算机视角领域 都需要使用具有较大视场的广角或鱼眼 摄像机 因此鱼眼镜头的使用会越来越受欢迎。由于鱼眼或者 广角摄像机采集的图像存在严重变形,如果想使用这些具有严 重变形图像的透视投影信息 就需要将这些变形图像校正为人 们习惯的透视投影图像。目前的校正方法主要是采用平面透视 投影约束 通过编写校正模型将空间直线的投影曲线映射为图 像平面上的直线,如: 等距投影、等立体角投影和正交投影校正 模型。文献[1]提出采用立方体投影模型来校正畸变的鱼眼图 像 校正后的图像真实感强,但是不能实现畸变图像的完整矫 正 有部分区域不能变换到矫正后的图形的相应位置。目前这 些方法 主要考虑了目标图像与鱼眼照片直接的映射关系 忽视 了目标图像生成中出现的一些问题: (1) 当目标图像尺寸大于 鱼眼照片尺寸约 4 倍以上 就存在明显的马赛克现象; (2) 当目 标图像尺寸小于鱼眼图像照片尺寸时,目标图像上相邻的像素 就对应鱼眼照片上距离比较大的两点 那么当系统实时运转时, 就会出现目标图像的闪烁。为了克服这些问题,本文提出通过 球面透视投影约束,结合双线性插值来补充校正后的图像,实现 鱼眼图像校正,且校正后的图像清晰,图像尺寸没有发生大的变 换。图1为一幅视场为185°的鱼眼图像。



图1 鱼眼镜头采集的图像

在平面透视投影情况下。透视投影图像必须满足平面透视投影约束,也就是说对于空间直线的透视投影必须为图像平面上的直线。但是对于视场大于180°的鱼眼镜头,由于它能拍摄

收稿日期: 2010 - 10 - 08。北京市财政专项项目(PXM2009\_179202 \_091370); 北京市科技计划项目(D101105046310002)。 吴桂萍,硕士生,主研领域: 数字图像处理 模式识别。

到与光轴夹角为 90°的光线,如果利用平面透视投影模型来表示完整的校正图像 则校正后的图像大小将为无穷大。因此对于视场为 180°左右的鱼眼图像 采用球面透视投影模型来表示完整的校正图像比较合适。此时,整幅鱼眼图像将被映射到一个单位球面上<sup>[2]</sup>。与平面透视投影不同 在球面透视投影情况下 空间直线不再投影成图像平面直线 而是球面上的大圆。

球面投影模型 是将空间直线的球面透视投影为大圆这一球面透视投影约束关系来恢复鱼眼变形校正参数的方法。为了保证场景直线的鱼眼投影曲线上选取的采样点都在曲线上 将这些采样点通过变形校正模型映射为球面点后,需要对这些点进行大圆拟合。本文采用的目标函数是最小化对应于同一条空间直线的球面点到相应拟合大圆的球面距离平方和。在鱼眼镜头校正中,为了方便描述大圆,以及定义球面点到大圆的球面跨、需要使用参数方法。本文将球面几何引入到鱼眼镜头校正中来,给出了大圆的球面坐标的概念以及球面点到大圆的球面距离计算公式等。且使得空间直线的球面透视投影必为球面上大圆这一约束得以在鱼眼变形校正中实现。最后利用双线性插值法对校正后的图像进行填充,校正后的图形分辨率高,图像亮度分布均匀,可以满足目标识别对图像的要求,为基于鱼眼图像目标识别做好了准备工作。

## 1 鱼眼镜头全方位成像系统

#### 1.1 鱼眼镜头的成像

目前鱼眼镜头的视场大概在 180°与 270°之间 ,成像时需要考虑球面物体和平面像的共轭关系。光学系统理想的像高公式表示为:

$$h = f \times tg\theta \tag{1}$$

其中 h 为理想像高 f 为系统物方焦距  $\theta$  为物方视场半角。在式 (1) 可知  $\theta = \pm 90^{\circ}$  时  $h = \pm \infty$  像面变得无限大且无法实现。所以 鱼眼镜头需要人为地引入桶形畸变 ,且这种桶形畸变被认为是投影成像的结果,而不是由像差造成。鱼眼镜头的桶形畸变对所成像的清晰度没有影响,且会产生一些特殊的效果。这正是鱼眼镜头的特点之一,而且引入固定的桶形畸变,会改善鱼眼镜头像面照度的均匀性 (3,4)。

## 1.2 鱼眼镜头的投影模型

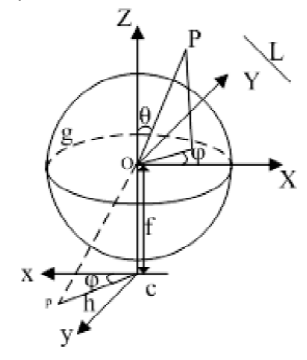


图 2 鱼眼镜头与图像平面关系的模型

鱼眼镜头在平面有限范围内的常见的几种投影公式: 体视投影  $h=2f\times \operatorname{tg}\left(\frac{\theta}{2}\right)$ ; 等距投影  $h=kf\theta$ ; 等立体角投影  $h=2f\sin\left(\frac{\theta}{2}\right)$ ; 正交投影  $h=f\times \sin\theta^{[5]}$ 。但是这几种鱼眼图像的投影模型,主要是基于平面投影模型,据现有的经验知,这几种投影模型不能够很好地校正鱼眼图像。因此本文提出了基于球面投影模型约束鱼眼图像的校正方法。

#### 1.3 鱼眼镜头的变形模型

鱼眼镜头的变形主要有鱼眼变形、径向变形、偏心变形和薄棱镜变形。其中径向变形为最常见的,而且无法避免。光学镜头的径向曲率变化是引起径向变形的主要因素。这种变形会引起图像像素点沿着径向移动,离中心越远。图像的畸变量越大。正的径向变形量会引起像素点向远离图像中心的方向移动,该比例系数会增大;负的径向变形量会引起像素点向靠近图像中心的方向移动,其比例系数较小。可以从图1中看出。远离图像中心。图像的变形很大,接近图像中心。图像的变形越小。图像分辨率越高,基本上没什么变形。

### 1.4 鱼眼镜头相机的标定

鱼眼镜头的视场角能达到 180°,要覆盖整个全球视场,需要用三维模式来代替平面的标定模式。传统的小孔成像模型不能表示超过 180°的视场,采用球面模型来标定鱼眼镜头摄像机,首先要确定成像的光学中心。

常用的光学中心标定法有直接光学法、径向准直约束法和变焦距法等<sup>[6,7]</sup>。直接光学法又可以分为标定板法和激光法,其中标定板法是利用光轴上的图像坐标不变原理进行的,如果沿光轴方向移动标定板很长距离。图像坐标保持不变则可将标定板上的标志点在 CCD 上的成像坐标作为光学中心的图像坐标。径向准直约束法根据径向准直约束关系找出满足光学中心坐标偏差量与摄像机 RAC 模型残差关系的二次方程式,并作为优化目标函数进行迭代优化,使残差趋于零,从而逼近真实的光学中心偏差,再结合图像中心坐标得到光学中心坐标。

上述的几种标定方法中,变焦距方法由于镜头的缩放中心与光学中心并不完全重合,因此变焦距法的测量精度不高,在实际应用很少;径向准直约束法求取的光学中心坐标精度较高,在实际操作中建立优化目标函数逼近复杂,但是为了求得精度较高的光学中心,本文采用的径向准直约束法求取光学中心坐标,其中图像中心坐标主要是通过寻找鱼眼图像的左右切线和上下切线,求得图像的中心坐标和半径。

#### 2 鱼眼镜头的校正原理

本文主要是对鱼眼镜头的非均匀性进行校正。由于鱼眼镜头的视场较大。边缘视场相对中心视场的照度差很大。对于鱼眼镜头,为了改善成像效果,引入桶形畸变使像方半视场角大幅度变小,降低半视场角的影响。其次,充分利用像差渐晕使轴外物点成像光束截面最大,即增大轴外斜光束截面积与轴上点光束截面积之比,来抵消像方半视场角的余弦影响。在一定的程度上可以补充轴外像点与轴上像点的照度之差<sup>[8,9]</sup>。

假设球面点 P 经过非线性映射为鱼眼图像点 n ,用公式形式化表示为:

$$n = D(p) \tag{2}$$

其中, D 为鱼眼变形模型 且 D 是可逆的 因为每一个球面点有

一个唯一对应的鱼眼图像点 ,而且每一个鱼眼图像点也有一个和它唯一对应的球面点 则:

$$p = D^{-1}(n) \tag{3}$$

其中, $D^{-1}$ 为鱼眼变形校正模型。鱼眼图像的校正就是找到鱼眼图像点到球面点之间的映射关系  $D^{-1}$ 。通过模型  $D^{-1}$ ,可以将鱼眼图像上所有图像点都映射到球面上,且这些点必须满足球面投影约束,也就是一条空间直线的鱼眼投影曲线必须被映射为球面上的一个大圆。如果 L 为一条空间直线在鱼眼图像上的投影曲线 通过  $D^{-1}$  将其映射为球面上的大圆 C 即:

$$c = D^{-1}(l) \tag{4}$$

相应地,对于球面上的某一大圆 c 经过鱼眼变形模型 D 被映射为鱼眼图像上的一条曲线 L 即:

$$l = D^{-1}(c) \tag{5}$$

由于鱼眼图像的视场大于等于  $180^\circ$  ,所以对应的球面图像接近一个以主轴 OZ 为轴的半球面 如图 2 中所示。

如果空间某一点的球面透视投影点为点 P ,它的球面坐标为( $\theta$   $\varphi$ ) ,由于鱼眼变形 D ,该点被映射到鱼眼图像平面上一点n。且点 n 坐标记为(x y) 。注轴与鱼眼图像平面的交点 ,则主点的直角坐标记为(x p y p )。并把主点(x p p p ) 作为极坐标系的坐标原点建立极坐标系 ,那么鱼眼图像点的直角坐标系(x p p ) 与极坐标(x p p p ) 之间的关系为:

$$r = \sqrt{\bar{x}^2 + \bar{y}^2} \quad \tan\varphi = \frac{y}{\bar{x}} \tag{6}$$

其中 $x = x - x^p$   $y = y - y^p$  。

假设主点坐标位于图像中心,这样鱼眼变形校正模型  $D^{-1}$ 可以分为切向变形校正与径向变形校正。切向与径向变形校正分别为:

$$\varphi = D_T^{-1}(\varphi) \tag{7}$$

$$\theta = D_R^{-1}(r) \tag{8}$$

一般情况下, $D_T^{-1}$  和  $D_R^{-1}$  交复杂的,本文采用多项式来逼近。为了提高图像校正的精度与速度,本文采用五次多项式进行逼近,则切向变形和径向变形校正的公式为:

$$\theta' = k_1 r + k_2 r^2 + k_3 r^3 + k_4 r^4 + k_5 r^5 \tag{9}$$

$$\varphi' = c_1 \varphi + c_2 \varphi^2 + c_3 \varphi^3 + C_4 \varphi^4 + c_5 + \varphi^5 \tag{10}$$

由于图像平面极坐标的周期性 ,当  $\varphi=0$  时 ,有  $\varphi'=0$  ,当  $\varphi=2\pi$  时  $\varphi'=2\pi$  因此:

$$c_5 = (1 - c_1 - 2\pi c_2 - 4\pi^2 c_3 - 8\pi^3 c_4) / 16\pi^4$$
 (11)

所以  $,c_5$  不是一个独立的参数。所以 ,为了校正鱼眼镜头 ,需要恢复九个变形校正参数 $\{k_1\ k_2\ k_3\ k_4\ k_5\ c_1\ c_2\ c_3\ c_4\}$  。

## 3 参数的确定

在球面透视投影情况下,本文使用的约束为场景中的直线应该投影为球面图像上的大圆。在这些直线的鱼眼投影曲线上选取采样点通过手工选取,也可以采用多项式拟合曲线方法提取<sup>[10]</sup>,为了对变形校正参数进行无偏估计,选取的投影曲线应该均匀的分布在鱼眼图像上<sup>[11,12]</sup>。通过变形校正参数将这些采样点映射为球面点,建立的目标函数为这些球面点到相应拟合大圆的球面距离的平方和,通过最小化目标函数来恢复变形校正参数。如图 3 所示为,对鱼眼镜头采集的图像进行校正后

的图像。



图 3 校正后的鱼眼图像

# 4 鱼眼图像校正算法实现过程

本文主要是在 VC ++ 环境下并结合计算机视觉库 opencv 完成鱼眼图像的校正。算法过程主要包括一下几个步骤:

- (1) 计算鱼眼图像区域的左右切线,并记录图像列坐标 *i、i*;
- (2) 计算鱼眼图像区域的上下切线,并记录鱼眼图像高 h 以及给鱼眼图像的底部赋值 1;
  - (3) 计算鱼眼图像的中心坐标和半径;
- (4) 利用鱼眼图像的中心坐标和半径计算出鱼眼图像的 (x,y) 坐标 最后使用双线性插值法填充校正后的图像。

在此计算过程中 需要把彩色图像转换为灰度绘图 把圆形的鱼眼图像转换为长方形图像。校正后的图像如图 4 所示 图像的灰度分布均匀 分辨率较高。经过多次试验 发现该方法对鱼眼图像的校正 不仅能够对一般鱼眼图像能进行较好的校正 ,对于在暗室测量的植物根系图像也能够进行较好的校正 ,为图像中目标识别提供了技术参考。



图 4 校正后的根系鱼眼图像

#### 5 结 语

本文针对传统鱼眼镜头校正存在的不足之处,提出了对鱼眼图像进行球面投影约束方法进行校正,并结合双线性插值法对校正后的图像进行填充。校正后的图像清晰,亮度分布均匀,图像真实感器。但该方法在图像中心点和半径寻找时,是通过计算圆形鱼眼图像的上下左右切点来确定,如果拍摄景物时镜头不在一个水平面且光轴与拍摄物不是垂直的,找出来的图像中心点会存在偏差,这点还需改进。

## 参考文献

- [1] 苑光明,丁承君愈学波.基于鱼眼镜头的全方位视觉系统的设计与实现[J].河北工业大学学报 2010 39(2):1-3.
- [2] 英向华 胡占义. 一种基于球面透视投影约束的鱼眼镜头校正方法 [J]. 计算机学报 2003 26(121):1-6.

(下转第168页)

- [4] Leydesdorff Loet. Can Scientific Journals be classified in terms of aggregated journal-journal citation relations using the journal citation reports [J]. Journal of The American Society for Information Science and Technology , 2006 57(5):601-613.
- [5] Doreian Patrick. A measure of standing of journals in stratified networks [J]. Journal of the American Society for Information Science, 1985, 8(5-6): 341-363.
- [6] Ma N, et al. Bringing PageRank to the citation analysis [J]. Information Processing and Management, 2008, 44(2):800-810.
- [7] Almila Akdag. Citation networks: a new humanities tool. 2007 [DB/OL]. http://www.digitalhumanities.org/dh2007/abstracts/xhtml.xq?id = 248.
- [8] Irina Marshakova-Shaikevich. Bibliometric maps of field of science
  [J]. Information Processing & Management, 2005,41(6): 1534
  -1547
- [9] Chen P, Xie H, Maslov S. et al. Finding scientific gems with Google's PageRank algorithm [J]. Journal of Informetrics, 2007, 1(1):8-15.
- [10] Bollen J, Rodriguez M A, Van De Sompel H. Journal status [J]. Scientometrics, 2006, 69(3):669-687.
- [11] Evelien Otte. Social network analysis: a powerful strategy, also for the information sciences [J]. Journal of Information Science, 2002, 28 (6):441-453.
- [12] Girvan M , Newman M E J. Community structure in social and biological networks [J]. Proceedings of Nail Acad Sci USA ,2002 ,99(12): 7821 7826.
- [13] Howard D. White , Barry Wellman , Nancy Nazer. Does citation reflect social structure? Longitudinal evidence from the Globenet interdiscipli– nary research group [J]. JASIST , 2004 , 55(2):111-126.
- [14] Yasmin H Said , Edward J Wegman , Walid K. Sharabati , et al. Social netwaorks of author-coauthor relationships [J]. Computational Statistics & Data Analysis , 2008 , 52(4):2177 - 2184.
- [15] Xiaoming Liu, Johan Bollen, Michael L Nelson, et al. Co-authorship networks in the digital library research community [J]. Information Processing and management, 2005, 41(6):1462-1480.
- [16] Kretschmer H, Kretschmer T. Application of a New Centrality Measure for Social Network Analysis to Bibliometric and Webometric Data [C]//1st IEEE International Conference on Digital Inormation Managerment, Bangalore, 2006: 199 – 204.
- [17] Ryutaro Ichise , Hideaki Takeda , Kosuke Ueyama. Community Mining Tool using Bibliography Data [C]//Proceedings of the Ninth International Conference on Information Visualization , IEEE Computer Society , 2005: 953 – 958.
- [18] Ryutaro Ichise , Hideaki Takeda , Taichi Muraki. Research Community Mining with Topic Identification [C]//Proceedings of the Information Visualization , IEEE Computer Society , 2006: 276 281.
- [19] Yoon B , Park Y. A text-mining-based patent network: Analytical tool for high-technology trend [J]. Journal of High Technology Management Research , 2004 , 15(1):37 50.
- [20] Zhou W J ,Wen J R ,Ma W Y , et al. A concentric-circle model for community mining in graph structures [R]. Technical Report MSR– TR-2002-123 , Microsoft Research Asia , Beijing , China , 2002.
- [21] Kajikawa J, Yoshikawa Y. Takeda et al. Tracking emerging technologies in energy research: Toward a roadmap for sustainable energy [J]. Technological Forecasting and Social Change, 2008, 75 (6): 771 782
- [22] David Dreyfus , Bala Iyer. Knowledge sharing and value flow in the

- software industry: searching the patent citation network [C]//Proceedings of the 38th Hawaii International Conference on System Sciences, Hawaii, 2005:87a.
- [23] Shann-Bin Chang, Shu-Min Chang, Wei-Yuan Guh. Exploring the technology diffusion trajectories and groups of basic patents of business methods: using the patent citation network [D]. Portland International Center for Management of Engineering and Technology, 2007: 1784 – 1789.
- [24] 李运景,侯汉清. 引文分析可视化研究[J]. 情报学报,2007,26 (2):301-308.
- [25] PKiduk Yang , Lokman Meho. CiteSearch: next-generation citation a-nalysis [C]//Proceedings of the 7th ACM/IEEE-CS joint conference on Digital libraries , Canada , 2007: 101 102.
- [26] Chien-Chih Chen, Kai-Hsiang Yang, Hung-Yu Kao, et al. BibPro: A Citation Parser Based on Sequence Alignment Techniques [C]//22nd International Conference on Advanced Information Networking and Applications, Okinawa, 2008: 1175 – 1180.
- [27] PDongwon Lee , Jaewoo Kang , Prasenjit Mitra , et al. Are your citations clean? [J]. Communications of the ACM , 2007 , 50 (12): 33 38
- [28] Powley B , Dale R. High accuracy citation extraction and named entity recognition for a heterogeneous corpus of academic papers [C]//International Conference on Natural Language Processing and Knowledge Engineering , Beijing , 2007: 119 – 124.
- [29] Mingyang Wang , Guang Yu , Daren Yu. Measuring the preferential attachment mechanism in citation networks [J]. Statistical Mechanics and its Application , 2008 , 387 (18): 4692 4698.
- [30] 胡立勇,陈定权. 引文分析可视化研究[J].情报技术,2004,11:78-81
- [31] Shi-Jian Gao , Wang-Zhi Yu , Feng-Ping Luo. Citation analysis of PhD thesis at Wuhan University , China [J]. Library Collections , Acquisitions , and Technical Services , 2009 , 33(1):8-16.

#### (上接第124页)

- [3] 陈晃明,陈向颖. 鱼眼镜头光学设计[J]. 北京理工大学学报, 1989 9(3):39-41.
- [4] 王永仲. 鱼眼镜头光学[M]. 北京: 科学出版社 2006.
- [5] 席志红 孙丽华 孙绍光. 基于鱼眼镜头的全视角图像[J]. 应用科技 2007 34(12):8-11.
- [6] 吴健辉 杨坤涛 涨南洋 等. 基于鱼眼镜头的目标监控与测量分析 系统[J]. 光学技术 2009 35(4):599-603.
- [7] 贾云得 ,吕宏静 ,徐岸 ,等. 一种鱼眼镜头成像立体视觉系统的标定 方法[J]. 计算机学报 2000 23(11):1215-1219.
- [8] 范丹 何永强 李计添 等. 一种基于鱼眼镜头的非均匀线性校正方法[J]. 红外 2009 30(8):28-31.
- [9] 侯文广 尚涛. 鱼眼镜头在获取建筑物立面影像中的新方法 [J]. 武汉大学学报 2007 40(1):105-109.
- [10] Weng J ,Chen P ,Herniou M. Camera calibration with distor-tion models and accuracy evaluation [J]. IEEE Transactions on Pattern Analysis and Machine Intelligence ,1992 ,14(10): 965 – 980.
- [11] Kang S B. Radial distortion snakes [C]//IAPR Workshop on Machine Vision Application Tokyo 2000: 603 - 606.
- [12] Devernay F ,Faugeras O. Straight lines have to be straight: automatioc calibration and removal of distortion from scenes of structured environments [J]. Machine Vision and Application 2001: 14 – 24.